

МЕХАНІЗМИ ПЕРЕНОСУ ЗАРЯДУ І ПОЛЯРИЗАЦІЇ ХАЛЬКОГЕНІДНИХ СТЕКОЛ З ВЕЛИКИМ ВМІСТОМ СРІБЛА

В.М. Рубіш

Ужгородський національний університет, 88000, Ужгород, вул. Волошина, 54

В інтервалі температур 210–400 К і діапазоні частот $1,0 \cdot 10^4$ – $5,2 \cdot 10^9$ Гц досліджені провідність σ і діелектричні параметри (ϵ і $\operatorname{tg}\delta$) стекол систем Ag–As(Sb)–S–I. Встановлено, що провідність стекол обумовлена, в основному, переносом заряду іонами Ag^+ . Діелектричні властивості визначаються іонною тепловою поляризацією.

У склад подвійних стекол на основі халькогенідів арсену (системи As–S, As–Se) може бути введена значна кількість срібла [1,2], що робить їх, завдяки високій іонній провідності, перспективними для застосування в якості твердих електролітів. Введення четвертого елемента в склад стекол дозволяє суттєво розширити область склоутворення і змінювати їх властивості в широких межах [3,4].

У даній роботі приведені результати досліджень електропровідності і діелектричних параметрів стекол систем Ag–As(Sb)–S–I (вивчались розрізи AgAsS_2 – AgI і AgSbS_2 – SbSI) в інтервалі температур 210–400 К.

Дослідження температурних залежностей повної провідності σ ($\sigma = \sigma_e + \sigma_i$, де σ_e – електронна і σ_i – іонна складові провідності) проводились на змінному струмі частотою 10 кГц. Електронна складова провідності σ_e визначалася по методу Вагнера [5] з використанням вимірюальної комірки срібна паста(–) – взірець – аквадаг(+). Вивчення ВАХ комірок Вагнера показали, що електронна складова провідності є дирковою. Результати дослідження явища електролізу показали, що в переносі заряду в досліджуваних склах приймають участь катіони срібла [3]. Діелектрична проникність ϵ і $\operatorname{tg}\delta$ вимірювались в діапазоні частот $5,5 \cdot 10^7$ – $5,2 \cdot 10^9$ Гц методом коаксіальної лінії [6].

Слід відмітити, що вимірюальні частоти значно перевищували частоту максвелівської релаксації ω_m в досліджуваних об'єктах (значення ω_m для стекол систем Ag–As(Sb)–S–I складає $1,5 \cdot 10^6$ – $4,5 \cdot 10^7$ Гц). Відносні похиби вимірювань: σ , σ_e – 5%, ϵ – 3%, $\operatorname{tg}\delta$ – 10–15%.

Дослідження температурних залежностей повної провідності стекол системи Ag–As(Sb)–S–I показали, що у вказаному інтервалі температур σ експоненціально збільшується зростом температури з однією енергією активації ΔE . Аналогічно змінюються з температурою електронна та іонна складові провідності. На рис.1 приведені характерні для всіх досліджених матеріалів температурні залежності σ_e і σ_i склоподібного AgSbS_2 . Слід відмітити, що залежність σ_i від T описується формулою [7]:

$$\sigma_i = \frac{q^2 N_0 \lambda^2 \nu_0}{6kT} \exp\left(-\frac{\Delta E_i}{kT}\right). \quad (1)$$

Тут q – заряд іона, N_0 – загальна кількість іонів в одиниці об'єму, λ – довжина пробігу іона, ν_0 – частота коливань іона в активованому стані, ΔE_i – енергія активації іонної складової провідності.

Електричні параметри стекол в системах Ag–As(Sb)–S–I приведені в таблиці 1. Видно, що σ всіх вивчених стекол зростає із збільшенням концентрації срібла і при

$T = 300 \text{ K}$ в декілька разів більша σ_e , тобто

є переважно іонною [8].

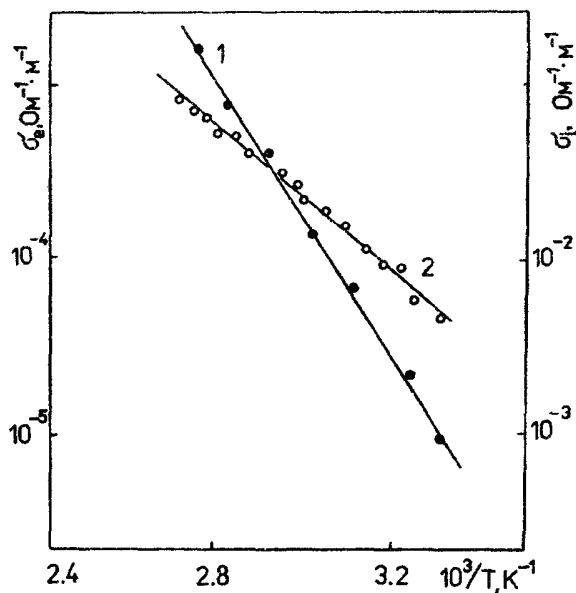


Рис.1. Температурна залежність σ_e (1) і σ_i (2) скла AgSbS_2 .

Таблиця 1. Електричні та діелектричні параметри стекол.

Склад	$\sigma, \text{Ohm}^{-1} \cdot \text{m}^{-1}$	$\Delta E_i, \text{eV}$	$\sigma_e, \text{Ohm}^{-1} \cdot \text{m}^{-1}$	S	ϵ	$\operatorname{tg}\delta$
AgAsS_2	$2,5 \cdot 10^{-4}$	0,34	$1,9 \cdot 10^{-5}$	0,70	16,4	$2,1 \cdot 10^{-2}$
$(\text{AgAsS}_2)_{0,98}(\text{AgI})_{0,02}$	$7,2 \cdot 10^{-4}$	0,32	$3,6 \cdot 10^{-5}$	0,72	16,9	$5,2 \cdot 10^{-2}$
$(\text{AgAsS}_2)_{0,96}(\text{AgI})_{0,04}$	$2,4 \cdot 10^{-3}$	0,31	$1,5 \cdot 10^{-4}$	0,73	17,4	$1,8 \cdot 10^{-1}$
$(\text{AgAsS}_2)_{0,94}(\text{AgI})_{0,06}$	$5,8 \cdot 10^{-3}$	0,29	$4,6 \cdot 10^{-4}$	0,75	18,5	$2,0 \cdot 10^{-1}$
AgSbS_2	$3,5 \cdot 10^{-3}$	0,48	$7,6 \cdot 10^{-6}$	0,75	53,4	$7,5 \cdot 10^{-2}$
$(\text{AgSbS}_2)_{0,95}(\text{SbSI})_{0,05}$	$6,8 \cdot 10^{-4}$	0,28	$2,5 \cdot 10^{-6}$	0,73	51,0	$5,3 \cdot 10^{-2}$
$(\text{AgSbS}_2)_{0,90}(\text{SbSI})_{0,10}$	$6,9 \cdot 10^{-4}$	0,30	$1,9 \cdot 10^{-6}$	0,76	36,8	$4,2 \cdot 10^{-2}$

Вивчення частотних залежностей σ показало, що в діапазоні $1,0 \cdot 10^4$ – $5,2 \cdot 10^9 \text{ Гц}$ при $T = 300 \text{ K}$ повна провідність стекол збільшується з ростом частоти згідно співвідношення $\sigma \sim \omega^s$. Показник степеня s слабо залежить від співвідношення компонентів у складі стекол і знаходиться в межах 0,70–0,76 (табл.1). Така зміна провідності з частотою свідчить на користь її стрибкового механізму [9], коли перенос заряду здійснюється за рахунок перескоків іонів Ag^+ по незайнятим пустотам матриці скла.

Зменшення вмісту срібла в складі стекол приводить до зменшення як σ_i , так і σ_e (табл.1), оскільки рівноважні концентрації електронних і іонних носіїв заряду взаємно зв'язані [10]. Однак, для стекол $(\text{AgSbS}_2)_{0,95}(\text{SbSI})_{0,05}$ і $(\text{AgSbS}_2)_{0,90}(\text{SbSI})_{0,10}$ значення σ_i (як і ΔE_i) практично однакові. Пояснення цьому факту можна дати, виходячи із структури стекол систем $\text{Ag}-\text{As}(\text{Sb})-\text{S}-\text{I}$. В склоподібних AgSbS_2 і AgAsS_2 визначальна роль в провідності належить структурним угрупуванням $\text{Ag}^+\text{S}^-\text{Sb}(\text{As})\text{S}_{2/2}$ [8, 11]. Зв'язок іонів Ag^+ з аніонними комплексами сильно поляризо-

ваний і має здатність до розриву, причому слабший зв'язок іонів срібла з матрицею скла виявлений в системі Ag–Sb–S–I. У склах досліджуваних систем, які містять йод, виникають зв'язки As–I та Sb–I і утворюються структурні угрупування $\text{As}(\text{Sb})\text{I}_3$ [11]. Це приводить до розпушування скла і збільшення його вільного об'єму. Збільшення ж вільного об'єму приводить до збільшення довжини вільно-го пробігу, а значить і σ_i (згідно формули (1) $\sigma_i \sim \lambda^2$). Тому, не дивлячись на зменшення концентрації срібла в склі $(\text{AgSbS}_2)_{0,90}(\text{SbSI})_{0,10}$, σ_i практично не змінюється.

Вимірювання діелектричних параметрів стекол систем $\text{AgAsS}_2-\text{AgI}$ (при $T = 300$ К на частоті $4,0 \cdot 10^8$ Гц) і $\text{AgSbS}_2-\text{SbSI}$ (при $T = 300$ К на частоті $1,1 \cdot 10^9$ Гц) показали, що вони мають досить високі значення ϵ і $\operatorname{tg}\delta$ (табл. 1).

Температурні залежності ϵ і $\operatorname{tg}\delta$ склоподібного $(\text{AgAsS}_2)_{0,96}(\text{AgI})_{0,04}$ (типові для всіх досліджуваних матеріалів) приведені на рис. 2. Із збільшенням температури, а також концентрації срібла в склах ϵ і $\operatorname{tg}\delta$ зростають і корелюють із зміною концентрації носіїв заряду в них.

Як було показано вище, срібло слабо зв'язане із сіткою скла, і тому іони Ag^+ приймають участь в електропровідності. Тому при розгляді діелектричних властивостей стекол систем $\text{Ag}-\text{As}(\text{Sb})-\text{S}-\text{I}$, які є змішаними електронно-іонними напівпровідниками [3, 12], треба враховувати поляризацію, обумовлену такими „вільними” іонами. Справді, іони, що знаходяться в пустотах матриці скла, та іонні вакансії створюють еквівалентні диполі. Оскільки число пустот велике, то при відсутності зовнішнього електричного поля розміщення диполів є випадковим і нерпорядкованим і не приводить до макроскопічної поляризації. Прикладення зовнішнього електричного поля може привести до упорядкування диполів і виникнення індукованої полем іонної поляризації.

При відсутності електричного поля число іонів, які переходят в пустоти

матриці скла в одиницю часу і в одиниці об'єму в даному напрямі можна виразити [9]:

$$N_i = \frac{N_0 v_0}{6} \exp\left(-\frac{U}{kT}\right). \quad (2)$$

Тут U – висота потенціального бар'єру, що розділяє два ймовірних положення іона. Після прикладення електричного поля F кількість ΔN слабо зв'язаних іонів Ag^+ (із загальною кількості N_0) за одиницю часу переборюють потенціальний бар'єр. Оскільки ΔN представляє собою надлишкову концентрацію іонів, то, очевидно, що електричний момент одиниці об'єму

$$P = \Delta N q \lambda. \quad (3)$$

З другого боку

$$P = N_0 \alpha_i F. \quad (4)$$

З цих виразів можна визначити величину поляризованості α_i для теплової іонної поляризації

$$\alpha_i = \frac{\Delta N q \lambda}{N_0 F}. \quad (5)$$

Згідно [9], значення ΔN

$$\Delta N = \frac{N_0 q \lambda}{12 k T} F \left[1 - \exp\left(-\frac{t}{\tau}\right) \right], \quad (6)$$

$$\text{де } \tau = \left(\frac{1}{2v_0} \right) \exp\left(\frac{U}{kT}\right).$$

Тоді, підставляючи значення ΔN в (5), одержимо

$$\alpha_i = \frac{q^2 \lambda^2}{12 k T} \left[1 - \exp\left(-\frac{t}{\tau}\right) \right]. \quad (7)$$

Якщо поле діє тривалий час ($t \rightarrow \infty$), то теплова іонна поляризація встигає встановитися і

$$\alpha_i = \frac{q^2 \lambda^2}{12 k T}. \quad (8)$$

Видно, що поляризованість α_i зменшується з ростом температури, оскільки теплові коливання перешкоджають упорядкованому рухові іонів.

Однак, хоч α_i і зменшується з температурою, діелектрична проникність зростає через збільшення числа еквівалентних диполів. Вклад іонної поляризації в ϵ прямо пропорційний концентрації

„вільних” іонів і обернено пропорційний температурі, тобто тісно зв’язаний з іонною складовою провідності.

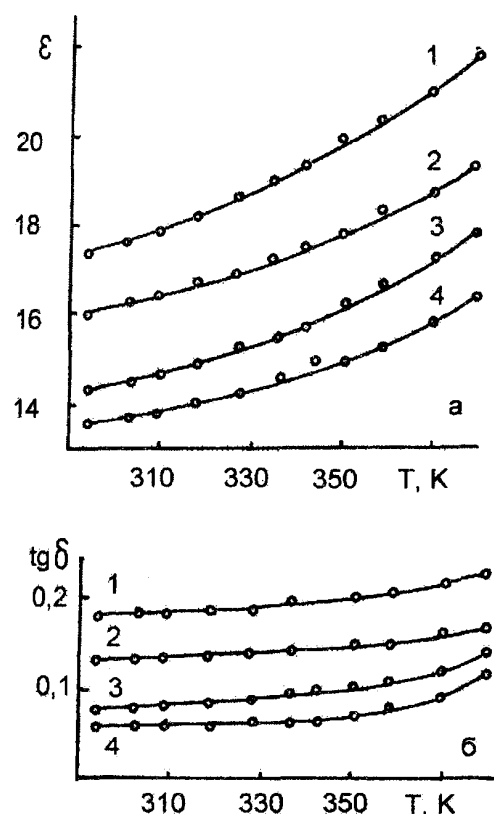


Рис.2. Температурні залежності ϵ (а) і $\text{tg}\delta$ (б) скла $(\text{AgAsS}_2)_{0,96}(\text{AgI})_{0,04}$. Частота, Гц: 1 – $4,0 \cdot 10^8$; 2 – $1,7 \cdot 10^9$; 3 – $3,9 \cdot 10^9$; 4 – $5,2 \cdot 10^9$.

1. Е.А. Казакова, З.У. Борисова, *ФХС*, **6**, 4, 424, (1980).
2. В.А. Жабрев, Е.А. Казакова, *ФХС*, **8**, 1, 51, (1982).
3. В.М. Рубиш, В.Ф. Микученіс, А.П. Кеженіс и др., Электронная техника, с. Материалы, 3, 76, (1983).
4. В.М. Рубиш, А.С. Орлюкас, В.Ф. Микученіс и др., *ФХС*, **15**, 1, 129, (1989).
5. С. Wagner, *Z.Elektrochemie*, **60**, 1, 4, (1956).
6. Р.П. Беляцкас, И.П. Григас, А.С. Орлюкас и др., Лит. физ. сб., **11**, 6, 1029, (1971).
7. Г.И. Сканави, *Физика диэлектриков. Область слабых полей*, Гос. изд-во

Дослідження частотних залежностей діелектричних параметрів показали, що із збільшенням частоти ϵ і $\text{tg}\delta$ стекол систем $\text{Ag}-\text{As}(\text{Sb})-\text{S}-\text{I}$ дещо зменшуються (рис.2). Зменшення ϵ зв’язано, ймовірно, з віддаленням вимірювальних частот від частот максвелівської релаксації, а зменшення $\text{tg}\delta$ (по закону, близькому до степеневого) – з переважанням втрат провідності. Однак, хід частотної залежності $\text{tg}\delta$ (показник степеня не рівний одиниці) дозволяє припустити, що в склах даної системи існують і дипольні релаксаційні втрати, викликані наявністю в склах дипольних структурних угрупувань Ag^+S^- $\text{As}(\text{Sb})\text{S}_{2/2}$ і обмеженими переміщеннями іонів, що переборюють потенціальні бар’єри.

Таким чином, на основі проведених досліджень встановлено, що скла системи $\text{Ag}-\text{As}(\text{Sb})-\text{S}-\text{I}$ володіють електронно-іонним характером провідності. Іонна складова обумовлена переносом заряду катіонами срібла. Діелектричні властивості визначаються, в основному, іонною тепловою поляризацією.

технико-теор. лит-ры, М.-Л., (1949), 500 с.

8. В.М. Рубиш, Сб.: Новые разработки в области естественных и гуманитарных наук, ч.1, Ужгород, 55, (1990).
9. А. Лидъярд, Ионная проводимость кристаллов, Изд-во иностр. лит-ры, М., (1962), 222 с.
10. В.Л. Винецкий, Г.А. Холодарь, Статистическое взаимодействие электронов и дефектов в полу-проводниках, К., (1969), 187 с.
11. Л.К. Водопьянов, И.Д. Туряница, В.М. Рубиш и др., *ФХС*, **11**, 1, 107, (1985).
12. V. Valiukėnas, V. Viškūčionis, A. Kežionis, V. Rubiš and A. Orliukas, Solid State Ionics, 17, 155, (1985).

CHARGE TRANSFER AND POLARIZATION MECHANISMS OF CHALCOGENIDE GLASSES WITH LARGE CONTENT OF SILVER

V.M. Rubish

Uzhgorod National University, 88000, Uzhgorod, Voloshina str., 54

The conductivity σ and dielectric parameters (ϵ and $\text{tg}\delta$) of glasses Ag–As(Sb)–S–I systems have been investigated in the temperature range from 210 to 400 K at frequencies between $1,0 \cdot 10^4$ and $5,2 \cdot 10^9$ Hz. The glasses conductivity